

# Studies of the convex radial profiles of galactic disks

Tsvetan B. Georgiev

Institute of Astronomy and Rozhen NAO, Bulgarian Academy of Sciences

[tsgeorg@astro.bas.bg](mailto:tsgeorg@astro.bas.bg)

(Conference talk)

**Abstract.** Investigations of galaxy brightness profiles with applying of convex model of the disk profile as more adequate than the Freeman's flat model, are summarized. Decomposition method in the spirit of Kormendy, where both bulge and disk profiles are fitted by the Sersic's formula, is developed. The method is applied on 7 systems of published galaxy profiles, comprising about 110 moderately inclined galaxies and about 150 edge-on galaxies. Typical examples of decompositions, revealed concave bulge profiles and convex disk profiles, are given in Fig.1. The results of the decompositions are used for searching for dependences between the shape of the disk profile and other galaxy parameters. The known anticorrelation between the morphology type of the galaxy and the concavity of its bulge profile is reproduced as test for the method. This report emphasizes mainly on the anticorrelation between the morphology type (or the mass) of the galaxy and the convexity of its disk profile, which was found firstly in the refereed studies. This means that along the Hubble sequence the disk radial profile changes its shape form convex toward flat. Chosen examples of the mentioned anticorrelations in the cases of nearby galaxies and edge-on galaxies are shown in Fig.2 and Fig.3, respectively. Illustrations of the behavior of the disk profile shape from light toward heavy disks are shown in Fig.4.

**Key words:** galaxies - structure; galaxies - fundamental parameters

## Изследвания на изпъкнали радиални профили на галактични дискове

Цветан Б. Георгиев

Обобщени са изследвания на галактични яркостни профили с използване на изпъкнал модел на дисковия профил като по-адекватен от плоския модел на Фриймън. Разработен е метод за декомпозиция на галактичен профил в духа на Корменди, при който профилите на балджа и диска се фитират по формулата на Серсик. Методът е приложен върху 7 системи от публикувани профили, обхващащи около 110 промеждущично наклонени галактики и около 150 галактики, видими ребром. На Фиг.1 са представени типични случаи на декомпозиции, изявили вдлъбнати балджови профили и изпъкнали дискови профили. Резултатите от декомпозициите са използвани главно за търсене на зависимости между формата на дисковия профил и други параметри на галактиката. Известната антокорелация между морфологичния тип на галактиката и вдлъбността на балджовия й профил е възпроизвеждана като тест за методиката. Този доклад акцентира главно върху антокорелацията между морфологичния тип (или масата) на галактиката и изпъкнала-лостта на дисковия й профил, която е намерена за първи път в разглежданите тук изследвания. Това означава, че по Хъбъловата последователност радиалните профили на дисковете изменят формата си от изпъкната към плоска. Избрани примери на отбележаните антокорелации за случаите на близки галактики и на галактики видими ребром са показани съответно на Фиг.2 и Фиг.3. Илюстрации на поведението на формата на дисковия профил от леки към тежки дискове са показани на Фиг.4.

## Увод

Моделиранията на яркостните профили на балджовете и дисковете при спиралните галактики целят определяния на стойности на малък брой добре дефинирани фотометрични параметри, които да бъдат използвани за количествено описание на хъбъловата последователност, за сравнения между наблюданията и теорията, за калибиране на методи за определяне на разстояния и др. Фотометричните параметри характеризират светимостите, размерите и формите на галактиките и техните компоненти. Много десетилетия след откриването на галактиките проблемът с моделите на балджовите и дисковите профили, както и с минимално достатъчните и лесно определяеми фотометрични параметри, продължава да бъде сериозен (вж. напр. MacArthur & Courteau 2003, Allen et al. 2006 и цит. изт.)

Истинската форма на радиалния профил на диска се моделира трудно, защото в централната част на галактиката доминира светенето на балджа, а в периферията -

светенето на фона на небето. Затова след класическите фотографически изследвания, особено след работата на Freeman (1970), се приема, че типичният дисков радиален профил е плосък, т.е. линейно-намаляващ в магнитудно представяне или експоненциално-намаляващ в интензитетно представяне.

Обаче, в мнозинството радиални профили на спирални галактики, вкл. и в повечето от профилите в класическите работи, се виждат изпъкнали дискови профили (вж. колекциите от профили в Georgiev 2005ab и Georgiev et al. 2005). Въпреки това, плоският модел продължава да се използва масово като "стандартен" в практиката (вж. напр. MacArthur & Courteau 2003, Allen et al. 2006 и цит. изт.) и в теорията (вж. Mo et al. 1998, van den Bosch 2001 и цит. изт.).

Все пак, теоретични съображения относно възможна изпъкнала форма на дисковия профил съществуват отдавна. В периферната част на диска, при падане на плътността на междузвездната среда под никакъв критичен минимум, активността на звездообразуването, а оттам и яркостта на диска, би следвало рязко да намаляват. Освен това, изпъкнал и даже пръстеновиден дисков профил би следвало да се наблюдава, ако активното звездообразуване в диска е било съсредоточено в относително къс интервал от време (Yoshii & Sommer-Larsen 1989). Следователно, въвеждането в употреба на изпъкнал модел, съответстващ на типичния наблюдаваем дисков профил, би разширило възможностите за наблюдателно и теоретично изследване на строежа и еволюцията на галактичните дискове. В този доклад са представени първите стъпки в това направление.

## 1 Модели и проблеми

Обикновено изследванията на структурите на галактиките се базират върху декомпозирането на техните профили на балджови и дискови компоненти. При тази процедура се решава некоректна обратна задача, при която малки изменения във входните данни (напр. шум) предизвикват големи изменения в резултата. При това неопределенността на резултата се увеличава и с увеличаване на броя на определяемите параметри. От тази гледна точка едномерната декомпозиция има предимство пред двумерната, която пък е привлекателна с това, че се прилага направо върху кадъра на галактиката. През последните десетилетия едномерната декомпозиция е прилагана десетки хиляди пъти, а само напр. в работата на Allen et al. (2006) - 10 095 пъти.

В класическите фотометрични изследвания на галактики профилите на балджа и диска са моделирани съответно чрез "1/4 модел" (de Vaucouleurs 1959) и "плосък модел" (Freeman 1970). Чрез този подход Simien & de Vaucouleurs (1986) са извили количествено намаляването на отношението на светимостта на балджа и диска на галактиките от ранните към късните типове. По-късно е било разбрано, че "1/4 моделът", който описва силно вдълбнат профил с висока централна яркост и обширна периферия, е резонен само при гигантските елиптични галактики. За другите елипсоидални звездни системи, при които яркостните профили имат различна вдълбнатост, е бил възприет по-гъвкавият модел на Серсик (Sersic 1968, вж. по-долу). В резултат на този подход е намерено, че с намаляването на масата на елиптичната галактика или балджа на спиралната галактика, яркостният профил на системата става все по-компактен, т.е. все по-малко вдълбнат, след това плосък, а при най-леките елипсоидални системи - изпъкнал (Andredakis, Peletier & Balcells 1995, Binggeli & Jerjen 1998, Graham 2001). За профилите на дисковете аналогична важна корелация е намерена за първи път в описваните тук изследвания.

Плоският дисков модел противоречи на наблюденията поне в три важни аспекти. Първо, докато плоският модел предсказва винаги централен пик на яркостта, дисковите профили при галактиките от ранни типове често имат централни депресии, моделирани за първи път от Kormendy (1977) и наблюдавани в 1/3 от всички специално изследвани случаи (Anderson et al. 2004 и цит. изт.). Второ, докато плоски-ят модел описва бекрайно радиално намаляване на яркостта, с постоянен

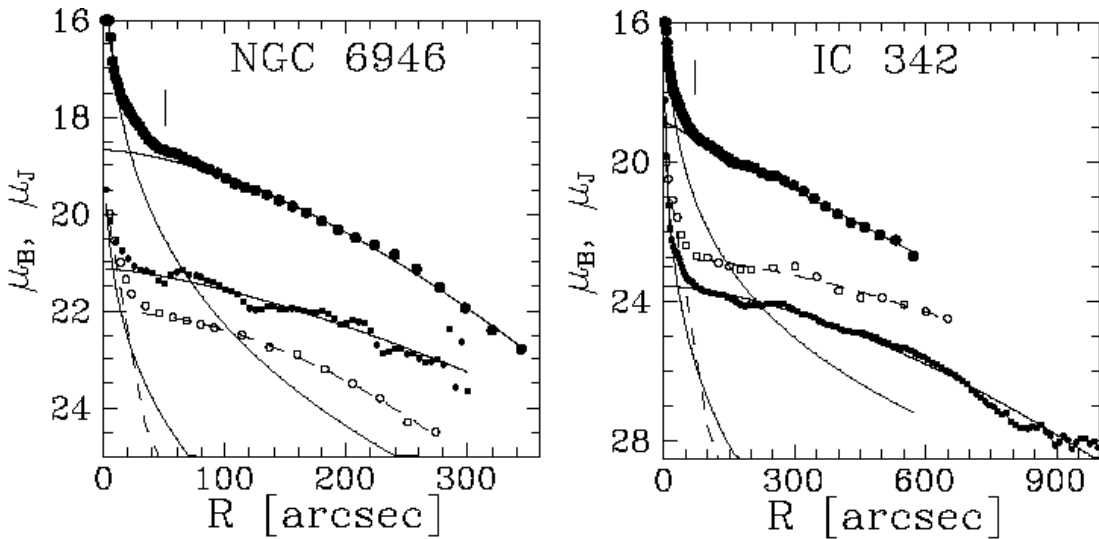
градиент, външните части на дисковите профили по правило изглеждат обрязани, т.е. силно отклоняващи се надолу от плоския модел (van der Kruit & Searle 1981, Pohlen et al. 2002, Pohlen et al. 2004 и цит. изд.). Трето, дисковите мащабни фактори (отразявачи пряко средните градиенти на дисковите яркости), определени от различни автори, се отличават до около два пъти (Knapen & van der Kruit 1991). При това липсва завидимост между мащабния фактор (т.е. градиента на яркостта) и морфологичния тип (или масата) на галактиката (van der Kruit, 2002). Последните два факта показват, че плоският модел не върши работа дори за определяне на градиента на яркостта за средната, най-добре наблюдана част на диска.

Поради указаните съображения в проведените изследвания изначално бе заложен експоненциално-степенен модел - както за балджовия, така и за дисковия профил (Georgiev 2005a). Моделът се дава чрез формулата на Sersic (1968)  $I_R = I_0 \exp(R/H)^N$ , която в магнитудно представяне има вида  $\mu_R = \mu_0 + C R^N$ . Трите свободни параметъра на модела са централната яркост  $\mu_0 = -2.5 \log I_0$ , мащабният фактор  $H = (1.0857/C)^{1/N}$  и експоненциално-степенният показател  $N$ . При магнитудно представяне случаите  $N < 1$ ,  $N = 1$  и  $N > 1$  съответстват удобно на вдлъбнат, плосък и изпъкнал профил. Специалните случаи  $N = 1/4$  и  $N = 2$  съответстват на „1/4 модел“ и на Гаусиан (който при магнитудно представяне е парабола). Прилагането на модела на Серсик и за балджа и за диска налага определяне на 6 свободни параметъра, докато при използване на плосък модел за диска ( $N_d = 1$ ) параметрите са общо 5. В класическите работи (вж. напр. de Vaucouleurs & Simien 1986) при „1/4 модел“ за балджа ( $N_b = 1/4$ ) и плосък модел за диска, определяемите параметри са 4.

Изследванията, които се разглеждат по-долу, са извършени чрез едномерни декомпозиции на профили на галактики в духа на итеративния метод на Kormendy (1977), с помощта на специално разработена С-програма. Програмата обикновено изявява вдлъбнати балджови профили и изпъкнали дискови профили, като при галактиките от най-късните типове и двата профила са приблизително плоски. Както при Kormendy (1977), при декомпозирането не е предвидено изявяване на трети компонент на галактиката (напр. бар), но е предвидено присъствие на диск с пръстеновидна форма. Последната опция, която се реализира чрез включване в модела на Серсик на втори терм от вида  $C_2 R^{2N}$ , е прилагана само пробно (Georgiev 2005b, Georgiev & Stanchev 2005b).

На Фиг.1 са дадени примерни декомпозиции на радиални профили на галактическите NGC 6946 и IC 342 от типове Sc и Scd, с абсолютни B-звездни величини -20.9 mag и -20.6 mag. Използвани са данни в J-лъчи от обзора 2MASS (Jarret et al. 2003) и по два различни набора данни в B-лъчи. При NGC 6946 B-данныте са от Kim & Chun (1984) (точки) и Walsh et al. (2002) (кръгчета). Втората система данни е с неизвестен яркостен нул-пункт и е изобразена изкуствено с 2 mag по-високо. При IC 342 B-данныте са от Buta & McCall (1999) (точки) и от White & Bothum (2003) (кръгчета). Вертикалното отместяване от около 1 mag между тези данни може да се обясни с разлика в използваните фотометрични нул-пунктове, а също и с ефект от различната разделителна способност на наблюденията - във втория случай, при ниско разрешение, множество фонови звезди вероятно не са били отстранени и затова яркостта на профила е като цяло по-висока.

На Фиг.1 се вижда още, че при NGC 6946 не са намерени за съпоставяне достатъчно обхватни и дълбоки профили в B-лъчи, а при IC 342 дълбокият профил в B-лъчи от Buta & McCall (1999) показва, че и профилите от 2MASS, с типична граница 23 mag/arcsec<sup>2</sup>, не могат да се смятат за достатъчно дълбоки. Въпреки това, оптималните дискови профили във всички случаи се оказват изпъкнали. Вижда се също така, според очакванията, че в J-лъчи, в сравнение с B-лъчи, балжовете показват по-високи яркости и по-широки периферии, а дисковете - по-големи радиални градиенти на яркостта и по-малки изпъкналости.



**Фиг. 1.** Декомпозиции на профилите на галактиките NGC 6946 и IC 342. Горните профилы, представени с големи точки, съответстват на данни в J-лъчи от обзора 2MASS. Малките точки и кръгчета съответстват на данни в B-лъчи от различни източници. Късите вертикални линии показват оптималните за декомпозицията радиуси, отделящи условно балдж-доминираната от диск-доминираната части на профила. Намерените модели на балджовете и дисковете са представени с криви.

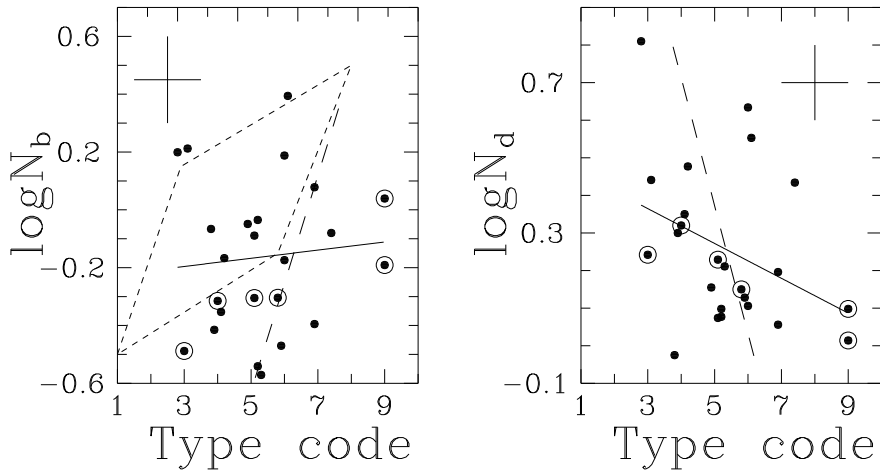
## 2 Изпъкналите дискови профили при елитни галактики

Знанията за галактиките и Вселената се основават до голяма степен върху резултатите от изучаването на най-близките галактики M 31, M 33, LMC и SMC. Затова описаните изследвания започнаха с анализ на 20 публикувани профилы на тези галактики, плюс един профил на модел на Млечния път (MW) и един профил на ярката спирала M 83 (Georgiev 2005a). Визуалното съпоставяне на профилите показва тенденции в изменението на балджовите и дисковите профили в зависимост от морфологичния тип (или масата) на галактиката, които бяха подтвърдени от резултатите на декомпозициите. Видя се, в съгласие с Andredakis et al. (1995), че от ранните към късните спирали балджовият профил става все по-малко вдълбнат, клонейки към плосък. Новият резултат бе, че същевременно дисковият профил става все по-малко изпъкнал, клонейки към плосък. При M 31 дисковият профил е почти парабола, а при LMC и SMC е приблизително права. Нагледно представяне на тази тенденция е дадено на Фиг.4, в ляво. Освен това бе установено, че наблюдаемата изпъкналост на дисковия профил леко намалява с увеличаване на дължината на вълната на наблюдението.

Изследванията на разнородни по условията на получаването си профилы на най-близките галактики показват, че сравнително най-уверено се определят параметрите на формите на профилите -  $\log N_b$ ,  $\log N_d$  и  $\log N_d/\bar{N}_b$ . Оценките на горните граници на стандартните грешки на тези параметри са съответно 0.15, 0.10 и 0.20. Други важни параметри, зависещи по-силно от фотометричната система, са централната яркост на диска, разликата между звездните величини на диска и балджа (или логаритъмът на отношението на светимостите на балджа и диска) и логаритъмът на отношението на мащабните фактори на диска и балджа. Оценките на горните граници на съответните наблюдателни грешки са 0.3 mag, 0.5 mag (или 0.2) и 0.6 (Georgiev 2005a и цитираните по-долу следващи работи).

Трябва да се отбележи, че всички споменати по-горе фотометрични параметри не зависят от разстоянието до галактиката. Те биха могли да се използват като индикатори за морфологичния тип и/или за гигантизма на галактиката в многомерни варианти на зависимостта на Тули-Фишер.

В следващото изследване на Georgiev et al. (2005) бяха декомпозирани 28 сравнително дълбоки и подробни профили на близки галактики. Профилите са главно фотографически, понеже все още липсват дълбоки и обхватни CCD наблюдения на големите по ъглови размери близки галактики. Целта бе да се търсят корелации между изпъкналостта на дисковия профил и други параметри на галактиката. Най-нажните резултати са показани на Фиг.2. Тук са използвани данните за 24 галактики, а в работата на Georgiev et al. (2005) - само за 20 галактики.



**Фиг. 2.** Антикорелации между морфологичния тип на галактиката и вдлъбнатостта на балджа (в ляво) или изпъкналостта на диска (в дясно) по профили на близки галактики (по Georgiev et al. 2005). Пътните и прекъснати линии представляват правите и обратни регресии, а кръстовете - оценките на стандартните отклонения. Ромбът показва приблизителното разположение на данните при Andredakis et al (1995). Кръгчетата отбелнязват галактиките (от ляво на дясно) M 31, MW, M 83, M 33, LMC, SMC, чиито дискови профили са съпоставени на Фиг. 4, в ляво.

В лявата част на Фиг.2 е показана антикорелацията, известна от Andredakis et al (1995), която тук е изявена слабо. В дясната част на Фиг.2 антикорелацията между изпъкналостта на дисковия профил и морфологичния тип се вижда по-добре. Трябва да се отбележи, че параметрите на балжовия профил, моделиран тук и при Andredakis et al. (1995) по формулата на Серсик, зависят от модела на диска. В обсъжданите изследвания е търсен оптимален изпъкнал вместо оптимален плосък дисков профил, поради което съответният наш оптимален балджов модел е по-вдлъбнат от колкото при Andredakis et al. (1995). Затова на Фиг.2, в ляво, точките на Georgiev et al. (2005) са разположени средно по-ниско от тези на Andredakis et al. (1995).

В същата работа (Georgiev et al. 2005) четири много дълбоки профили на галактики бяха използвани за оценяване на влиянието на дълбочината на наблюдението върху стойността на параметъра  $N_d$ , характеризиращ на формата на дисковия профил. Намерено бе, че за неподценяване на изпъкналостта на дисковия профил дълбочините на наблюденията във B, V, R, I, J, H и K лъчи би трябвало да бъдат съответно около 27.5, 26.5, 26, 25.5, 25, 24.5 и 24 mag/arcsec<sup>2</sup>. За съжаление, болшин-

ството от профилите, изследвани в дискутираните работи, не удоволетворява този критерий.

Дипломната работа на Yankulov (2005) бе базирана на 2MASS профили в J-лъчи на 31 спирални галактики, отбрани от елитните 100 галактики на Jarret et al. (2003). Типовете на галактиките са от Sa до Sd, наклоните са от  $20^0$  до  $70^0$ , амплитудите на кривите на въртене са от 200 до 700 km/s, а J-абсолютните звездни величини - от -22 до -25 mag. Антикорелацията за балджовете бе подтвърдена както на Фиг.2, в ляво, но антикорелацията за дисковете, като тази на Фиг.2, вдясно, остана неизявена. Все пак, получените параметри участваха в очаквани корелации, като например намаляване на отношението на светимостите на диска и балджа към късните типове галактики, както при Simien & de Vaucouleurs (1986). На базата на данните за дисковете на галактиките от Yankulov (2005) в работата на Stanchev et al. (2007) бяха построени за първи път фундаментални равнини за спиралните галактики в J-лъчи. Кофициентите на равнините са близки до тези, получени от други автори в I-лъчи и разбросът на данните е неголям.

Дипломната работа на Deshev (2006) бе базирана на профили в системите g и r на 30 произволно избрани галактики с ниска повърхностна яркост от обзора SDSS, както и на B и R-профили на 12 такива галактики, взети от работата на Romanishin et al. (1983). Анализът на данните от първата извадка показва, че по-масивните дискове, имат средно взето по-изпъкнали дискови профили, близки до параболи (Dehsev et al. 2006). Втората извадка, съдържаща по-дълбоки и по-подробни профили показва също, че изпъкналостта на дисковия профил корелира със светимостта на галактиката и с отношението на мащабните фактори на диска и балджа (Dehsev et al. 2007).

### 3 Изпъкналите дискови профили при галактики видими ребром

В сравнение с видимостта анфас, видимостта в профил (ребром) на една дисково-доминирана галактика води до леко понижаване на интегралната светимост, до малко увеличаване на размера и до увеличаване на средната повърхностната яркост с над 1 mag/arcsec<sup>2</sup>. Заедно с това градиентът на повърхностната яркост в периферийните части на изображението на галактиката нараства, следователно всички фотометрични параметри стават по принцип по-точно определяеми. Освен това, при вид в профил амплитудата на кривата на въртене и ширината на линията на неутралния водород HI на галактиката са най-добре наблюдаеми, без да има нужда от корекция за наклон на галактиката към лъча на зренето. Затова светимостите на галактиките видими в профил (ребром) са много добри индикатори на разстояние (Stanchev et al. 2004ab).

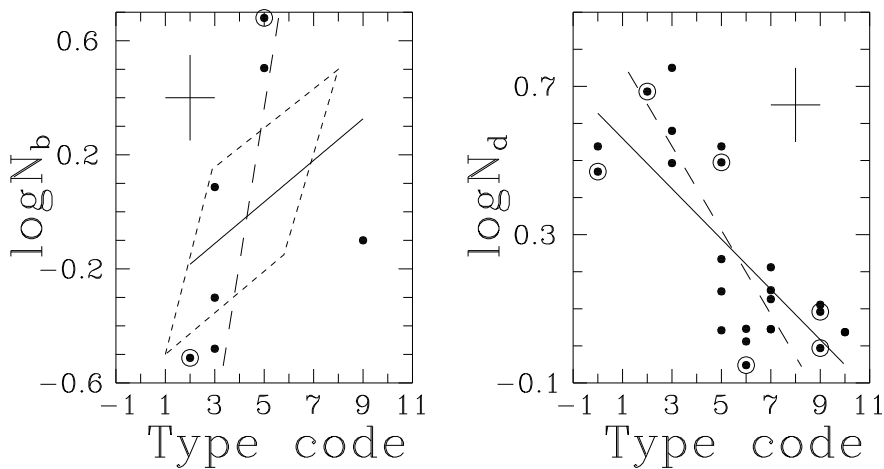
Когато един тънък галактичен диск с плосък радиален профил ( $N_d = 1$ ) се наблюдава ребром, поради интегрирането на източниците на лъчение по зрителния лъч профилът на голямата полуос на наблюдавемото изображение става леко изпъкнал. Когато дискът има изпъкнал радиален профил ( $N > 1$ ) и се наблюдава ребром, профилът по голямата ос също става малко по-изпъкнал, като този ефект намалява с приближаването към  $N_d = 2$ . Когато тънкият диск има точно гаусов радиален профил ( $N = 2$ ) и се наблюдава ребром, профилът на голямата полуос на изображението е пак гаусов, но с други параметри. Във всички споменати случаи наблюдаваният изпъкнал профил на голямата ос на изображението на галактиката може да се моделира с формулага на Серсик. Накрая, когато един диск има пръстеновидна форма и се наблюдава ребром, профилът на голямата полуос следва има централно плато или дори депресия. В такъв случай може да се използва формла на Серсик с включен терм от втори порядък.

Изследванията на галактики видими ребром започнаха с извлечане на 119 профили в R-лъчи от атласа на Karachentsev et al. (1992) и събиране на множество такива профили от други източници. Okaza се, че повече от 4/5 от събранныте над 200 профила показват добре изявени изпъкнали форми (Stanchev et al., 2002).

Профилите на големите оси на 119-те галактики бяха декомпозирани и бе намерено, че изпъкналостта на дисковия профил корелира със светимостта на галактиката. Бе намерено също така, че дисковите профили на галактиките с изявени балджове са по-силно изпъкнали и клонят да имат централни плато (Georgiev & Stanchev et al. 2005b).

По-късно по същия начин в работата на Georgiev & Stanchev (2005a) бяха обработени 24 дълбоки и подробни профили в В-лъчи на близки галактики видими ребром. Бе намерено, че масивните дискове, характерни за галактиките от ранни типове, показват силно изпъкнали профили, докато профилите на маломасивните дискове са слабо изпъкнали. Така резултатите от изследванията, особено относно изпъкналите профили на дисковете, описани в Раздел 2, бяха ясно подтвърдени. На Фиг.3 са показани съответните резултати, аналогични на резултатите, показани на Фиг.2.

На Фиг. се виждат антикорелациите между морфологичния тип на видимата ребром галактика и вдълбнатостта на балджовия ѝ профил (вляво) или изпъкналостта на дисковия ѝ профил (вдясно). В профила на голямата ос на една спирална галактика видима ребром дисковият компонент може да доминира дори в областта на балджа. Затова от изследваните 24 профила балджови компоненти бяха изявени само в 7 случая - при 6 масивни галактики от ранни типове и само при една малка галактика от късен тип - NGC 55. Поради тази причина антикорелацията на Andredakis et al (1995) е видима на Фиг.3, вляво, само като тенденция. Там най-дясната точка съответства на галактиката NGC 55.



**Фиг. 3.** Антикорелации между морфологичния тип на галактиката и вдълбнатостта на балджа (вляво) или изпъкналостта на диска (вдясно) по профили на галактики видими ребром (по Georgiev & Stanchev 2005a). Кръгчетата отбелнязват галактиките (на дясната диаграма, от ляво на дясно) NGC 4710, NGC 7814, NGC 5907, UGCA 93, NGC 3109 и UGCA 61, чиито дискови профили са съпоставени на Фиг. 4, в дясно. На лявата диаграма от тези галактики са представени само NGC 7814 и NGC 5907. (вж. още Фиг.2)

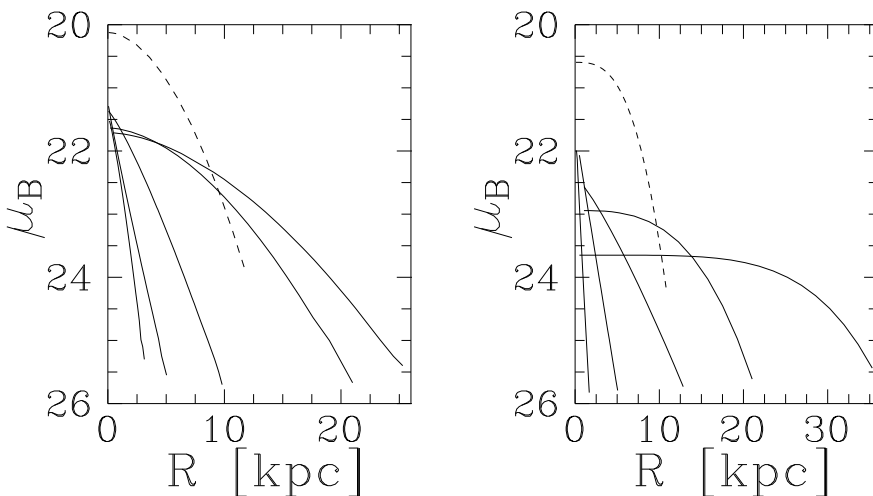
Антикорелацията между морфологичния тип и изпъкналостта на профила на голямата полуос на видимия ребром диск, представена на Фиг.3, в дясно, е вече почти зависимост. Нагледно представяне на изменението на формата на наблюдавания профил в зависимост от морфологичния тип (или масата) на галактиката е дадено на Фиг.4, в дясно. В този пример дискът на най-масивната от разглежданите галактики, NGC 7814, показва голямо по размери плато в централната си част. Този диск би следвало да бъде пръстеновиден.

Декомпозиции на галактики с възможен пръстеновиден диск са демонстрирани в работата на Georgiev & Stanchev (2005b). Показано е, че при използване на втори терм във формулата на Серсик, с експоненциално-степенен показател  $2N$ , пръстенообразен диск се детектира добре при видимите ребром галактики IC 4871 и ESO 416-G25, а също и при видимите почти анфас галактики 7 Zw 793 и M 51.

## Изводи

От проведените изследвания може да се заключи, (1) че радиалните профили на галактичните дискове са по правило изпъкнали, (2) че формулата на Серсик е подходяща за моделиране на изпъкнали дискови профили и (3) че изпъкналостта на дисковия профил анкорелира с морфологичния тип (или масата) на галактиката. Визуална представа за тази анкорелация е дадена на Фиг.4 за най-близките галактики (в ляво) и за близки галактики видими ребром (в дясно).

Все пак, разглежданите в този доклад анкорелации са далеч от зависимости. За подчертаване на този факт и на двете диаграми на Фиг.4 са показани силно отклоняващите се от изявената тенденция галактики с висока повърхностна яркост - съответно M 83 и NGC 4710.



**Фиг. 4.** Съпоставки на моделите на дисковите профили на избрани галактики за онагледяване на изменението на формата на дисковия профил в зависимост от масивността на диска. В ляво - близките галактики SMC, LMC, M 33, MW, M 31 (плътни криви) и M 83 (пунктир). В дясно - видимите ребром галактики UGCA 61, NGC 3109, UGCA 93, NGC 5907, NGC 7814 (плътни криви) и NGC 4710 (пунктир)

Резултатите от дискутираните работи, получени по литературни данни, често единствени за дадената галактика, при това - недостатъчно дълбоки и подробни, не позволяват да се отговори на интересния въпрос: От кой параметър зависи повече изпъкналостта на дисковия профил - от масата на галактиката или от отношението на масите на балджа и диска? На този и други въпроси би следвало да се потърси отговор в бъдещи изследвания, след допълване и усъвършенстване на използваната методика. Независимо от това, изпъкналостта на дисковия радиален профил би трябвало да започне да се отразява резонно и от теорията.

## Литература

- Allen P.D., Driver S.P., Graham A.W., Cameron E., Liske J.,  
de Propris R., 2006, MNRAS 371,2  
 Anderson K. S., Baggett S.M., Baggett W.F., 2004, AJ 127, 2085  
 Andredakis Y. C., Peletier R. F., Balcells M., 1995, MNRAS 275, 874  
 Binggeli B., Jerjen H., 1998, A&A 333,17  
 Buta R.J., McCall M.L., 1999, ApJS 124, 33  
 Deshev B.Z., 2006, Master Thesis, Dep. Astronomy, Sofia University (in Bulgarian)  
 Deshev B., Georgiev T., Nedialkov P., Stanchev O., Bomans D., 2006,  
 Meetings in Physics at University of Sofia, V. 6  
 Deshev B., Stanchev O., Georgiev T., 2007, Astrophys. Invest. 8 (in this issue)  
 de Vaucouleurs G., 1959, in: Handbuch der Physik LIII, ed. Flugge S.,  
 Springer-Verlag Berlin, p.275, 311  
 Freeman K.C., 1970, ApJ 160, 811  
 Georgiev T.B., 2005a, Aerospace Research in Bulgaria, 19, 29  
 Georgiev T.B., 2005b, Aerospace Research in Bulgaria, 20, 145  
 Georgiev T.B., Georgiev I.Y., Koleva N.A., Nedialkov P.L., Stanchev O. I., 2005,  
 Aerospace Research in Bulgaria, 20, 145  
 Georgiev T. B., Stanchev O.I., Nedialkov P.L., 2004, Annuaire d'Universite de Sofia,  
 Faculte de Physique, 97, 111 (in Bulgarian)  
 Georgiev T. B., Stanchev O.I., 2005a, Bulgarian Journal of Physics 32, 65  
 Georgiev T. B., Stanchev O.I., 2005b, Publ. Astron. Soc. "Rudjer Boskovic"  
 (Serbia) 5, 175  
 Graham A.W., 2001, AJ 121,820  
 Jarret T.H., Chester T., Outri R., 2003, ApJ 125, 525  
 Karachentsev I.D., Georgiev Ts.B., Kajsin S.S., Kopylov A.I.,  
 Ryadchenko V.P., and Shergin V.S., 1992, Astron. Astroph. Transactions, 2, 256.  
 Kim S.-W., Chun M.-S., 1984, JKAS 17, 32  
 Knapen J.H., and van der Kruit P.C., 1991, A&A 248,57  
 Kormendy J., 1977 Ap.J 217, 406  
 Kregel M., van der Kruit P. C., 2004, MNRAS 355, 143  
 MacArthur L.A. Courteau S., 2003, ApJ 582, 689  
 Mo H.J., Mao S., White S.D.M., 1998, MNRAS 295, 317  
 Pohlen M., Dettmar R.-J., Luetticke R., Aronica J., 2002, A&A 392, 807  
 Pohlen M., Beckman J., Huttemeister S., Knappen J., Erwin P.,  
 Dettmar R.-J., 2004, arXiv:astro-ph/0405541  
 Romanishin W., K.M.Storm K.M., Storm S.E., ApJS, 1983, 53, 105  
 Simien F., de Vaucouleurs G., 1986, ApJ 302, 564  
 Sersic J.-L., 1968, Atlas de Galaxies Australes,  
 Cordoba: Obs. Astron.Univ.Nat.Cordoba  
 Stanchev O., Georgiev T., Goranova Y., 2002, Publ. Astron. Obs. Belgrade 73, 231  
 Stanchev O., Nedialkov P., Georgiev T., 2004a, Comp. Rend. Acad. Bulg. Sci.,  
 57/6,5, arXiv:astro-ph/0412324  
 Stanchev O., Nedialkov P., Georgiev T., 2004b, Comp. Rend. Acad. Bulg. Sci., 57/7,5  
 Stanchev O., Georgiev T., Deshev B., Nedialkov P., 2007,  
 Astrophys. Invest. 8 (in this issue)  
 van den Bosch F. C., 2001, MNRAS 327 1334  
 van der Kruit P.C. Searle 1981, A&A 95, 105  
 van der Kruit P., 2002, in eds. G.S.Da Costa & E.M. Saadler,  
 The Dynamics, Structure & History of Galaxies, ASP Conference Series  
 Walsh W., Beck R., Thuma G., Weiss A., Wielebinski R., Dumke M., 2002, A&A  
 387, 7  
 White P.M., Bothum G., 2003, PASP 115,811  
 Yankulov I., 2005, Master Thesis, Dep. Astronomy, Sofia University (in Bulgarian)  
 Yoshii Y., Sommer-Larsen J., 1989 MNRAS 236, 779